

# Aerodinámica de altas velocidades y fenómenos de re-entrada

## Métodos de Inclinación Local

Sebastián Franchini

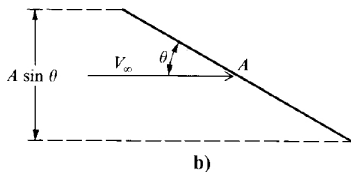
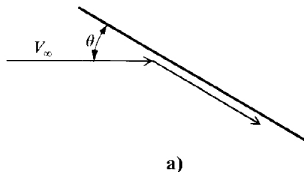
Curso 2020-2021



Instituto Universitario de Microgravedad "Ignacio Da Riva"  
Universidad Politécnica de Madrid. IDR/UPM  
E.T.S.I. Aeronáutica y del Espacio  
[www.idr.upm.es](http://www.idr.upm.es)

## Flujo Newtoniano

- Modelo desarrollado por Newton para calcular la fuerza sobre una placa inclinada. Publicado en el *Principia* en 1687
- Considera el fluido como un choro de partículas que inciden sobre la placa
- Cuando chocan con la placa pierden toda la cantidad de movimiento en la dirección normal a la placa, pero la conservan en la dirección tangencial



- La variación de la velocidad en la dirección normal a la placa es

$$\Delta u = u_{\infty} \sin \theta$$

y el gasto que incide sobre la placa de área  $A$  es

$$G = \rho_{\infty} u_{\infty} A \sin \theta$$

- La variación de la velocidad en la dirección normal a la placa es

$$\Delta u = u_{\infty} \sin \theta$$

y el gasto que incide sobre la placa de área  $A$  es

$$G = \rho_{\infty} u_{\infty} A \sin \theta$$

- La fuerza debe ser igual a la variación en la cantidad de movimiento en la dirección normal a la placa:

- La variación de la velocidad en la dirección normal a la placa es

$$\Delta u = u_{\infty} \sin \theta$$

y el gasto que incide sobre la placa de área  $A$  es

$$G = \rho_{\infty} u_{\infty} A \sin \theta$$

- La fuerza debe ser igual a la variación en la cantidad de movimiento en la dirección normal a la placa:

$$\begin{aligned} F &= G \Delta u = (\rho_{\infty} u_{\infty} A \sin \theta) (u_{\infty} \sin \theta) \\ &= \rho_{\infty} u_{\infty}^2 A \sin^2 \theta \end{aligned}$$

- O bien,

$$\frac{F}{A} = \rho_{\infty} u_{\infty}^2 \sin^2 \theta$$

presión debida al chorro de partículas.

- O bien,

$$\frac{F}{A} = \rho_{\infty} u_{\infty}^2 \sin^2 \theta$$

presión debida al chorro de partículas.

- Debe sumarse la presión estática debido al movimiento aleatorio de la partículas de gas ▷ la presión estática

- O bien,

$$\frac{F}{A} = \rho_{\infty} u_{\infty}^2 \sin^2 \theta$$

presión debida al chorro de partículas.

- Debe sumarse la presión estática debido al movimiento aleatorio de la partículas de gas ▷ la presión estática

$$p - p_{\infty} = \frac{F}{A} = \rho_{\infty} u_{\infty}^2 \sin^2 \theta$$



- O bien,

$$\frac{F}{A} = \rho_{\infty} u_{\infty}^2 \sin^2 \theta$$

presión debida al chorro de partículas.

- Debe sumarse la presión estática debido al movimiento aleatorio de la partículas de gas  $\triangleright$  la presión estática

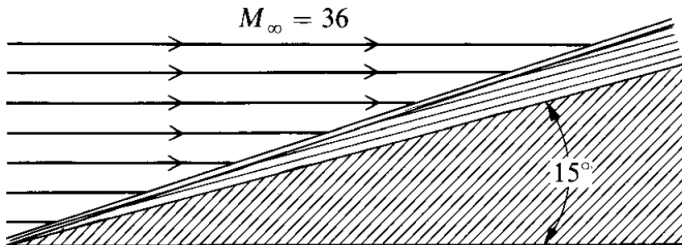
$$p - p_{\infty} = \frac{F}{A} = \rho_{\infty} u_{\infty}^2 \sin^2 \theta$$

Por lo que el coeficiente de presión sobre la placa queda:

$$c_p = \frac{p - p_{\infty}}{\frac{1}{2} \rho_{\infty} u_{\infty}^2} = 2 \sin^2 \theta$$

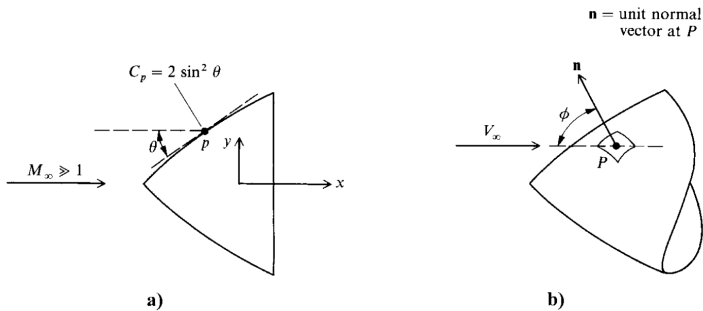
El flujo hipersónico tiene semejanza geométrica y cinemática con el modelo de Newton, por lo que presenta semejanza dinámica.

El flujo hipersónico tiene semejanza geométrica y cinemática con el modelo de Newton, por lo que presenta semejanza dinámica.



$$c_p = \frac{p - p_{\infty}}{\frac{1}{2} \rho_{\infty} u_{\infty}^2} = 2 \sin^2 \theta$$

Puede extenderse para figuras bidimensionales con curvatura y cuerpos tridimensionales



Se determina la componente de la velocidad  $u_{\infty}$  normal a la superficie:

$$\mathbf{u}_{\infty} \cdot \mathbf{n} = u_{\infty} \cos \phi = u_{\infty} \sin \left( \frac{\pi}{2} - \phi \right)$$

Se determina la componente de la velocidad  $u_\infty$  normal a la superficie:

$$\mathbf{u}_\infty \cdot \mathbf{n} = u_\infty \cos \phi = u_\infty \sin \left( \frac{\pi}{2} - \phi \right)$$

Como  $\theta = \pi/2 - \phi$

$$\mathbf{u}_\infty \cdot \mathbf{n} = u_\infty \sin \theta$$

Se determina la componente de la velocidad  $u_\infty$  normal a la superficie:

$$\mathbf{u}_\infty \cdot \mathbf{n} = u_\infty \cos \phi = u_\infty \sin \left( \frac{\pi}{2} - \phi \right)$$

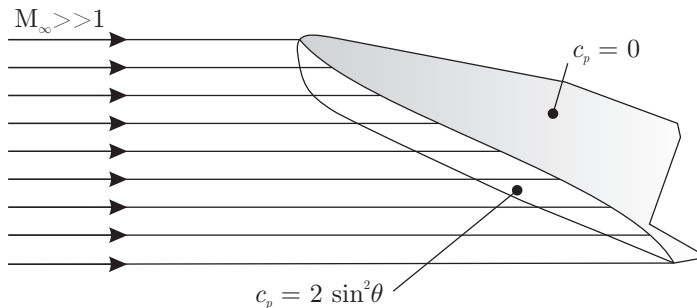
Como  $\theta = \pi/2 - \phi$

$$\mathbf{u}_\infty \cdot \mathbf{n} = u_\infty \sin \theta$$

O bien

$$\sin \theta = \frac{\mathbf{u}_\infty}{u_\infty} \cdot \mathbf{n}$$

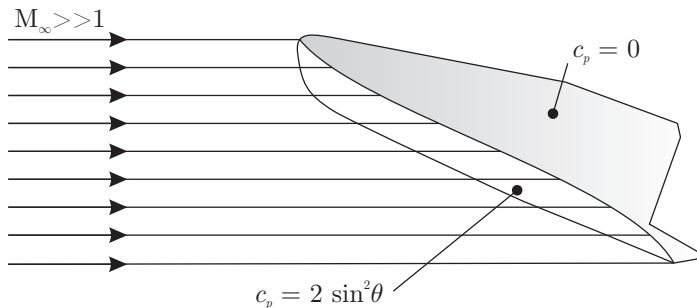
# Método de Newton



- En el flujo newtoniano las partículas de aire inciden sobre el área frontal del cuerpo.
- En el área que se encuentra a sotavento puede suponerse que  $p = p_\infty \implies c_p = 0$



# Método de Newton

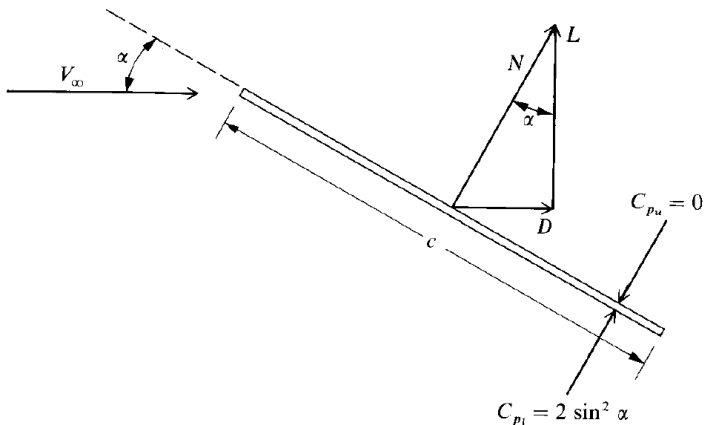


- En el flujo newtoniano las partículas de aire inciden sobre el área frontal del cuerpo.
- En el área que se encuentra a sotavento puede suponerse que  $p = p_\infty \implies c_p = 0$

Conocer la distribución de coeficiente de presión se reduce a un problema geométrico

# Método de Newton

## Ejemplo placa plana en régimen hipersónico



El coeficiente de presión en el intradós es

$$C_{p,i} = 2 \sin^2 \alpha$$

En el extradós es

$$c_{p,E} = 0$$

En el extradós es

$$c_{p,E} = 0$$

Integrando a lo largo de la cuerda se obtiene el coeficiente de fuerza normal:

$$\begin{aligned} c_n &= \frac{1}{c} \int_0^c (c_{p,I} - c_{p,E}) dx \\ &= \frac{1}{c} (2 \sin^2 \alpha) c \end{aligned}$$

O bien,

$$c_n = 2 \sin^2 \alpha$$

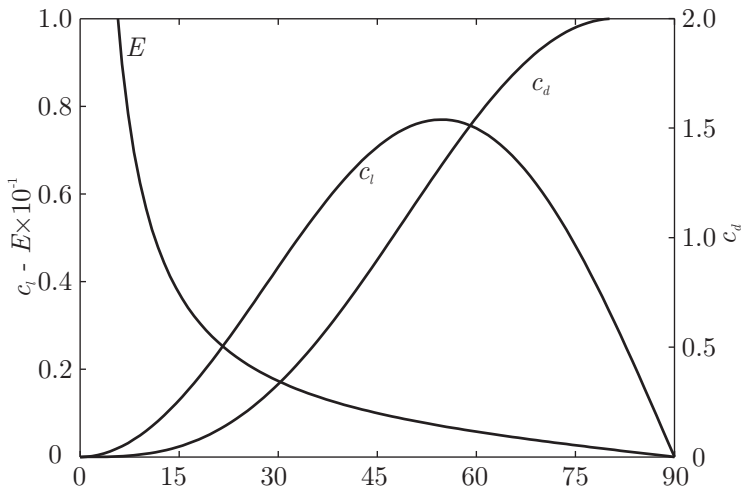
Los coeficientes de sustentación y resistencia son:

$$\begin{aligned}c_l &= c_n \cos \alpha = 2 \sin^2 \alpha \cos \alpha \\c_d &= c_n \sin \alpha = 2 \sin^3 \alpha\end{aligned}$$

Y la eficiencia aerodinámica:

$$\frac{c_l}{c_d} = \cot \alpha$$

# Método de Newton



## Observaciones

- **Estos resultados no dependen implícitamente del número de Mach**

## Observaciones

- **Estos resultados no dependen implícitamente del número de Mach**
- La eficiencia crece infinitamente para  $\alpha \rightarrow 0$ , no se considera la resistencia de fricción



## Observaciones

- **Estos resultados no dependen implícitamente del número de Mach**
- La eficiencia crece infinitamente para  $\alpha \rightarrow 0$ , no se considera la resistencia de fricción
- El  $c_{l\text{máx}}$  ocurre a  $\alpha \approx 55^\circ$ . El coeficiente máximo de muchos vehículos hipersónicos ocurre en el entorno a ese ángulo.

## Observaciones

- **Estos resultados no dependen implícitamente del número de Mach**
- La eficiencia crece infinitamente para  $\alpha \rightarrow 0$ , no se considera la resistencia de fricción
- El  $c_{l\text{máx}}$  ocurre a  $\alpha \approx 55^\circ$ . El coeficiente máximo de muchos vehículos hipersónicos ocurre en el entorno a ese ángulo.
- Para ángulos de ataque pequeños la curva de  $c_l$  no es lineal, en contraste con los perfiles en régimen subsónico. **El flujo hipersónico es no-lineal.**

## Método de Newton modificado

El el 55' se propuso la siguiente modificación:

$$c_p = c_{p\text{máx}} \sin^2 \theta$$

## Método de Newton modificado

El el 55' se propuso la siguiente modificación:

$$c_p = c_{p\text{ máx}} \sin^2 \theta$$

Donde:

$$c_{p\text{ máx}} = \frac{p_{0,2} - p_{\infty}}{\frac{1}{2}\rho_{\infty}u_{\infty}^2} = \frac{2}{\gamma M_{\infty}^2} \left( \frac{p_{0,2}}{p_{\infty}} - 1 \right)$$

## Método de Newton modificado

El el 55' se propuso la siguiente modificación:

$$c_p = c_{p\text{ máx}} \sin^2 \theta$$

Donde:

$$c_{p\text{ máx}} = \frac{p_{0,2} - p_{\infty}}{\frac{1}{2} \rho_{\infty} u_{\infty}^2} = \frac{2}{\gamma M_{\infty}^2} \left( \frac{p_{0,2}}{p_{\infty}} - 1 \right)$$

La relación de Rayleigh para el tubo de pitot es:

$$\frac{p_{0,2}}{p_{\infty}} = \left[ \frac{(\gamma + 1)^2 M_{\infty}^2}{4\gamma M_{\infty}^2 - 2(\gamma - 1)} \right]^{\gamma/(\gamma-1)} \left[ \frac{1 - \gamma + 2\gamma M_{\infty}^2}{\gamma + 1} \right]$$

Reemplazando en el  $c_{p\text{ máx}}$

$$c_{p\text{ máx}} = \frac{2}{\gamma M_\infty^2} \left\{ \left[ \frac{(\gamma + 1)^2 M_\infty^2}{4\gamma M_\infty^2 - 2(\gamma - 1)} \right]^{\gamma/(\gamma-1)} \left[ \frac{1 - \gamma + 2\gamma M_\infty^2}{\gamma + 1} \right] - 1 \right\}$$

Reemplazando en el  $c_{p\text{ máx}}$

$$c_{p\text{ máx}} = \frac{2}{\gamma M_\infty^2} \left\{ \left[ \frac{(\gamma + 1)^2 M_\infty^2}{4\gamma M_\infty^2 - 2(\gamma - 1)} \right]^{\gamma/(\gamma-1)} \left[ \frac{1 - \gamma + 2\gamma M_\infty^2}{\gamma + 1} \right] - 1 \right\}$$

Si  $M_\infty \rightarrow \infty$

$$c_{p\text{ máx}} \rightarrow \left[ \frac{(\gamma + 1)^2}{4\gamma} \right]^{\gamma/(\gamma-1)} \left[ \frac{4}{\gamma + 1} \right]$$

Reemplazando en el  $c_{p\text{ máx}}$

$$c_{p\text{ máx}} = \frac{2}{\gamma M_\infty^2} \left\{ \left[ \frac{(\gamma + 1)^2 M_\infty^2}{4\gamma M_\infty^2 - 2(\gamma - 1)} \right]^{\gamma/(\gamma-1)} \left[ \frac{1 - \gamma + 2\gamma M_\infty^2}{\gamma + 1} \right] - 1 \right\}$$

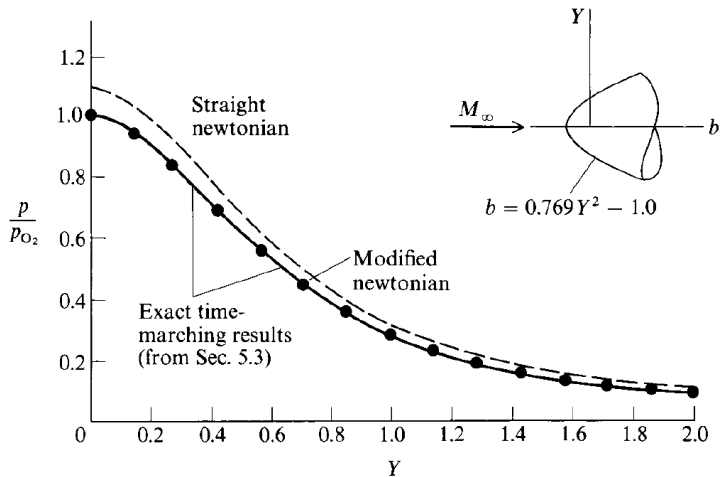
Si  $M_\infty \rightarrow \infty$

$$c_{p\text{ máx}} \rightarrow \left[ \frac{(\gamma + 1)^2}{4\gamma} \right]^{\gamma/(\gamma-1)} \left[ \frac{4}{\gamma + 1} \right]$$

- Si  $\gamma = 1.4 \Rightarrow c_{p\text{ máx}} = 1.839$
- Si  $\gamma = 1 \Rightarrow c_{p\text{ máx}} = 2$



# Método de Newton modificado



## Observaciones

- El MDN modificado no es independiente del número de Mach

## Observaciones

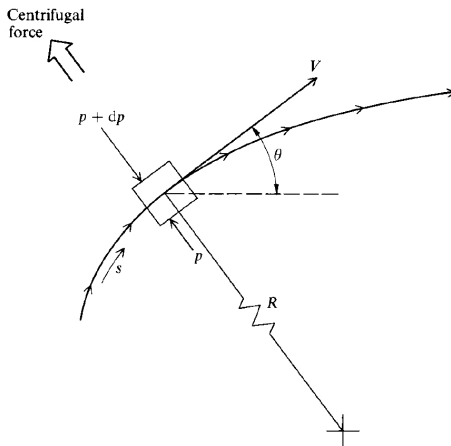
- El MDN modificado no es independiente del número de Mach
- El MDN modificado hace que en el punto de remanso el método de Newton sea exacto

## Observaciones

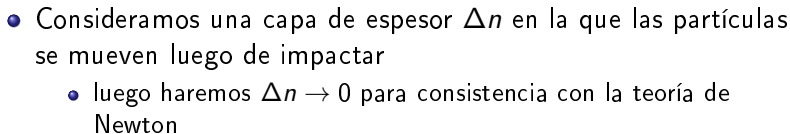
- El MDN modificado no es independiente del número de Mach
- El MDN modificado hace que en el punto de remanso el método de Newton sea exacto
- Cuando  $M_\infty \rightarrow \infty$  y  $\gamma \rightarrow 1$ ,  $\triangleright c_p = 2 \sin^2 \theta$

# Corrección por fuerza centrífuga

## Método de Newton-Busemann

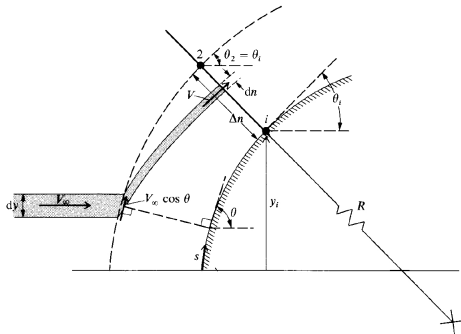


## Método de Newton-Busemann



# Corrección por fuerza centrífuga

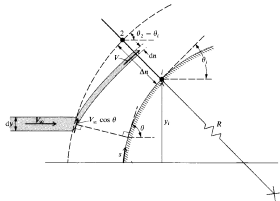
## Método de Newton-Busemann



- Se asume que la capa de fluido también tiene radio  $R$
- Se considera el tubo de corriente de alto  $dy$ 
  - cuando entra en la capa cercana al cuerpo su dirección cambia a  $\theta$

# Corrección por fuerza centrífuga

## Método de Newton-Busemann



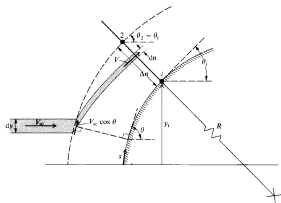
- En la sección  $i - 2$ , de la segunda ley de Newton:

$$\frac{\partial p}{\partial n} = \frac{\rho u^2}{R}$$



# Corrección por fuerza centrífuga

## Método de Newton-Busemann



- En la sección  $i - 2$ , de la segunda ley de Newton:

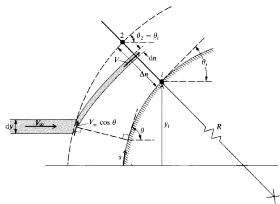
$$\frac{\partial p}{\partial n} = \frac{\rho u^2}{R}$$

- Integrando entre  $i - 2$ :

$$\int_{p_i}^{p_2} dp = \int_0^{\Delta n} \frac{\rho u^2}{R} dn$$

# Corrección por fuerza centrífuga

## Método de Newton-Busemann



- Por continuidad:

$$\rho_{\infty} u_{\infty} dy = \rho u dn$$

Por tanto

$$p_2 - p_i = \int_0^{y_i + \Delta n \cos \theta_i} \frac{\rho_{\infty} u_{\infty}}{R} u dy$$

- Hemos cambiado la integración de  $i \rightarrow 2$  en el sistema dentro de la capa de fluido, a  $0 \rightarrow y_i + \Delta n \cos \theta_i$  en el flujo no perturbado.

# Corrección por fuerza centrífuga

## Método de Newton-Busemann

- Haciendo  $\Delta n \rightarrow 0$ :

$$p_2 - p_i = \int_0^{y_i} \frac{\rho_\infty u_\infty}{R} u dy$$

# Corrección por fuerza centrífuga

## Método de Newton-Busemann

- Haciendo  $\Delta n \rightarrow 0$ :

$$p_2 - p_i = \int_0^{y_i} \frac{\rho_\infty u_\infty}{R} u dy$$

- A lo largo del tubo de corriente la velocidad es  $u = u_\infty \cos \theta$

$$p_2 - p_i = \frac{\rho_\infty u_\infty^2}{R} \int_0^{y_i} \cos \theta dy$$

# Corrección por fuerza centrífuga

## Método de Newton-Busemann

- Haciendo  $\Delta n \rightarrow 0$ :

$$p_2 - p_i = \int_0^{y_i} \frac{\rho_\infty u_\infty}{R} u dy$$

- A lo largo del tubo de corriente la velocidad es  $u = u_\infty \cos \theta$

$$p_2 - p_i = \frac{\rho_\infty u_\infty^2}{R} \int_0^{y_i} \cos \theta dy$$

- De la definición del radio de curvatura en el punto  $i$ :

$$\frac{1}{R} = - \left( \frac{d\theta}{ds} \right)_i = - \left( \frac{d\theta}{dy} \right)_i \sin \theta_i$$

Remplazando en la integral:

$$p_i = p_2 + \rho_\infty u_\infty^2 \left( \frac{d\theta}{dy} \right)_i \sin \theta_i \int_0^{y_i} \cos \theta dy$$

# Corrección por fuerza centrífuga

## Método de Newton-Busemann

- Restando  $p_\infty$  en ambos lados y dividiendo por  $q_\infty$

$$c_{p,i} = c_{p,2} + 2 \left( \frac{d\theta}{dy} \right)_i \sin \theta_i \int_0^{y_i} \cos \theta dy$$

- En el punto 2 se puede considerar que no hay fuerza centrífuga, es directamente el coeficiente de presión según la ley de Newton

$$c_{p,i} = 2 \sin^2 \theta + 2 \left( \frac{d\theta}{dy} \right)_i \sin \theta_i \int_0^{y_i} \cos \theta dy$$

Expresión del **coeficiente de presión en un punto  $i$  sobre una superficie bidimensional con curvatura.**

- Para cuerpos con simetría axial se puede demostrar:

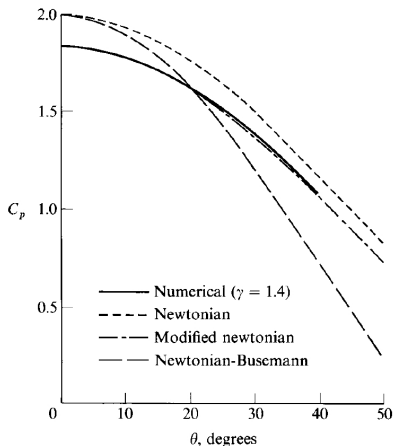
$$c_{p,i} = 2 \sin^2 \theta + 2 \left( \frac{d\theta}{dy} \right)_i \frac{\sin \theta_i}{y_i} \int_0^{y_i} y \cos \theta dy$$

O bien, expresado en términos del área de la sección transversal,  $A = \pi y_i^2$

$$c_{p,i} = 2 \sin^2 \theta + 2 \left( \frac{d\theta}{dA} \right)_i \sin \theta_i \int_0^{A_i} \cos \theta dA$$

# Corrección por fuerza centrífuga

## Método de Newton-Busemann

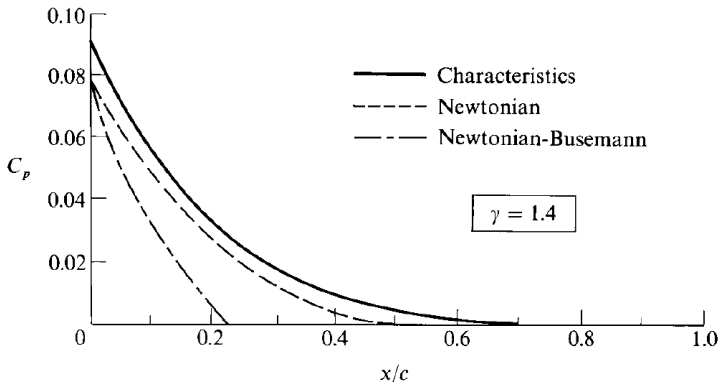


Cilindro circular



# Corrección por fuerza centrífuga

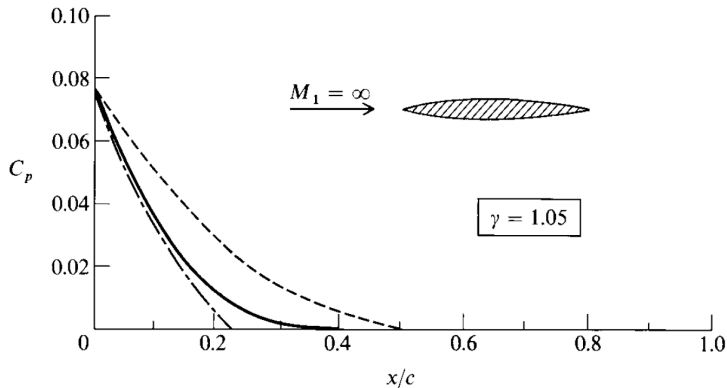
## Método de Newton-Busemann



Perfil biconvexo

# Corrección por fuerza centrífuga

Método de Newton-Busemann



Perfil biconvexo

# Corrección por fuerza centrífuga

## Método de Newton-Busemann

### Observaciones

- 1 El método de Newton-Busemann añade una corrección por fuerza centrífuga en cuerpos con curvatura
- 2 Los resultados difieren de métodos exactos.

Recordamos: el coeficiente de presión detrás de una OdCh oblicua es:

$$c_p = \frac{4}{\gamma + 1} \left( \sin^2 \beta - \frac{1}{M_\infty^2} \right)$$

Recordamos: el coeficiente de presión detrás de una OdCh oblicua es:

$$c_p = \frac{4}{\gamma + 1} \left( \sin^2 \beta - \frac{1}{M_\infty^2} \right)$$

En el límite de  $M_\infty \rightarrow \infty$

$$c_p = \frac{4}{\gamma + 1} \sin^2 \beta$$

Recordamos: el coeficiente de presión detrás de una OdCh oblicua es:

$$c_p = \frac{4}{\gamma + 1} \left( \sin^2 \beta - \frac{1}{M_\infty^2} \right)$$

En el límite de  $M_\infty \rightarrow \infty$

$$c_p = \frac{4}{\gamma + 1} \sin^2 \beta$$

Si además se considera que  $\gamma \rightarrow 1$

$$c_p = 2 \sin^2 \beta$$

Esto no es el método de Newton  $\triangleright \beta$  es el ángulo de inclinación de la onda, no el ángulo de deflexión del flujo.

- Por otro lado, detrás de una OdChO la densidad es

$$\frac{\rho_2}{\rho_1} = \frac{(\gamma + 1) M_\infty^2 \sin^2 \beta}{(\gamma - 1) M_\infty^2 \sin^2 \beta + 2}$$

- Por otro lado, detrás de una OdChO la densidad es

$$\frac{\rho_2}{\rho_1} = \frac{(\gamma + 1) M_\infty^2 \sin^2 \beta}{(\gamma - 1) M_\infty^2 \sin^2 \beta + 2}$$

- Si  $M_\infty \rightarrow \infty$   $M_\infty^2 \sin^2 \beta \gg 1$

$$\frac{\rho_2}{\rho_\infty} = \frac{\gamma + 1}{\gamma - 1}$$



- Por otro lado, detrás de una OdChO la densidad es

$$\frac{\rho_2}{\rho_1} = \frac{(\gamma + 1) M_\infty^2 \sin^2 \beta}{(\gamma - 1) M_\infty^2 \sin^2 \beta + 2}$$

- Si  $M_\infty \rightarrow \infty$   $M_\infty^2 \sin^2 \beta \gg 1$

$$\frac{\rho_2}{\rho_\infty} = \frac{\gamma + 1}{\gamma - 1}$$

- Si además se considera que  $\gamma \rightarrow 1$

$$\frac{\rho_2}{\rho_\infty} \rightarrow \infty$$

# Análisis de la teoría de flujo Newtoniano

- Si  $\rho \rightarrow \infty \Rightarrow$  la OdCh coincide con la superficie del cuerpo.
- Si además consideramos la relación entre el ángulo de deflexión y el de la onda, para  $M_\infty \rightarrow \infty$

$$\frac{\beta}{\theta} = \frac{\gamma + 1}{2}$$

- Si  $\rho \rightarrow \infty \Rightarrow$  la OdCh coincide con la superficie del cuerpo.
- Si además consideramos la relación entre el ángulo de deflexión y el de la onda, para  $M_\infty \rightarrow \infty$

$$\frac{\beta}{\theta} = \frac{\gamma + 1}{2}$$

- y hacemos  $\gamma \rightarrow 1$

$$\beta = \theta$$

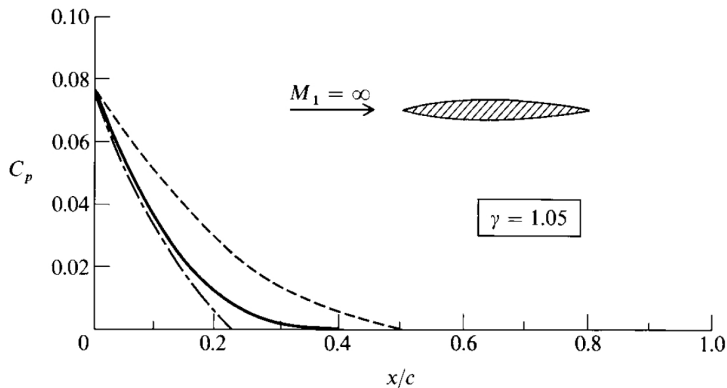
Reemplazando en la expresión del coeficiente de presión:

$$c_p = 2 \sin^2 \theta$$

**Es decir que la Ley de Newton se puede obtener de la teoría exacta de OdCh Oblicuas para  $M_\infty \rightarrow \infty$  y  $\gamma \rightarrow 1$**

# Análisis de la teoría de flujo Newtoniano

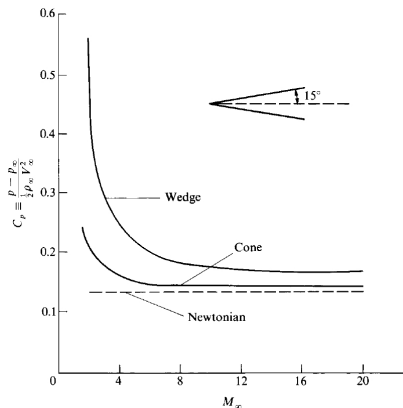
Con estos límites la Teoría de Newton-Busemann arroja mejores resultados que la de Newton original.



# Análisis de la teoría de flujo Newtoniano

Comparación de Newton para una cuña y un cono de  $15^\circ$ .

- Cuña: de la teoría exacta de OdCh oblicuas
- Cono: de la ecuación clásica de Taylor- Maccoll [1]



## Observaciones

- Cuanto mayor es el  $M_{\infty}$  mejores resultados arroja la teoría de Newton

## Observaciones

- Cuanto mayor es el  $M_\infty$  mejores resultados arroja la teoría de Newton
- Funciona mejor para cuerpos tridimensionales

## Observaciones

- Cuanto mayor es el  $M_\infty$  mejores resultados arroja la teoría de Newton
- Funciona mejor para cuerpos tridimensionales
- La teoría de Newton modificada es mejor para cuerpos romos, pero no para cuerpos esbeltos.



## Observaciones

- Cuanto mayor es el  $M_\infty$  mejores resultados arroja la teoría de Newton
- Funciona mejor para cuerpos tridimensionales
- La teoría de Newton modificada es mejor para cuerpos romos, pero no para cuerpos esbeltos.
- Cuanto mayor es el  $M_\infty$  los coeficientes tienden a ser constantes  $\Rightarrow$  *Principio de independencia del número de Mach*

[1] John D. Anderson.

*Modern Compressible Flow: With Historical Perspective*, 3 edition.

McGraw-Hill Science/Engineering/Math, 2002.